

Моделирование колебания мембраны в форме ромба

Н.А. Чернышов, А.С. Лобакин, А.А. Постнов

ВУНЦ ВВС «ВВА имени профессора Н.Е. Жуковского и Ю.А. Гагарина», г. Воронеж

Аннотация: В данной работе рассмотрено моделирование колебаний мембраны в форме ромба. Найдены некоторые частные решения задачи о свободных колебаниях мембраны с различными начальными условиями и получены собственные частоты свободных колебаний. Полученное решение возможно использовать при усилении элементов конструкций летательных аппаратов ячеистой ромбовидной структурой, а также при проектировании беспилотных дронов типа летающее крыло.

Ключевые слова: Свободные колебания мембраны, мембрана в форме ромба, собственные частоты колебаний.

Введение

В современной промышленности часто применяют конструкции, содержащие мембраны различной формы. В авиастроении корпус военных и гражданских самолетов усиливается заполнителями различной формы для увеличения прочности несущих конструкций и улучшения шумоизоляции. Известны некоторые аналитические решения о свободных колебаниях мембран прямоугольной, треугольной [1], шестиугольной [2] и круглой формы. Целью представленной работы является моделирование свободных колебаний мембраны в форме ромба при заданных начальных условиях. В [3,4] найдены собственные частоты и формы прямоугольной мембраны методом разделения переменных. Методом Рэлея-Ритца решена задача о колебаниях треугольной пластины с учетом действия осевых сил [5]. Для треугольной пластины, имеющей сложные опорные условия, применялся метод множителей Лагранжа в [6]. В работах [7,8] рассмотрена треугольная пластина при различных нагрузках. Случай круговой пластины, шарнирно закреплённой и упруго подвешенной на винклеровом основании, рассмотрен в [9].

Постановка задачи

Пусть мембрана в форме ромба закреплена на границе и имеет заданную начальную форму. Затем она выводится из равновесия и начинает совершать поперечные свободные колебания перпендикулярно плоскости XOY. Такие колебания мембраны можно описать дифференциальным уравнением [10]:

$$\frac{\partial^2 W}{\partial t^2} = a^2 \left(\frac{\partial^2 W}{\partial x^2} + \frac{\partial^2 W}{\partial y^2} \right) \quad (1)$$

где W – отклонение точек мембраны от плоскости XOY, t – время.

На границе мембрана закреплена:

$$W|_r = 0 \quad (2)$$

В качестве начальных условий примем следующие:

$$W|_{t=0} = f(x, y), \quad \frac{\partial W}{\partial t}|_{t=0} = 0 \quad (3)$$

Решение представим в виде:

$$W = U(x, y)T(t). \quad (4)$$

После подстановки (4) в (1) получим дифференциальные уравнения:

$$T'' + a^2 \lambda^2 T = 0 \quad (5)$$

$$\Delta U + \lambda^2 U = 0 \quad (6)$$

Решение (5) не представляет сложности, запишем его

$$T = A \cos a\lambda t + B \sin a\lambda t$$

Решение задачи

Сделаем замену переменных (рис. 1):

$$\xi_1 = y, \quad \xi_2 = \frac{1}{2}(\sqrt{3}x - y), \quad l - \text{высота ромба} \quad (7)$$

Переменные имеют следующие свойства:

1. Граничные условия принимают удобную форму:

$$\xi_1 = 0, \quad \xi_2 = 0, \quad \xi_1 = l, \quad \xi_2 = l \quad (8)$$

2. Возможна дифференциальная замена:

$$\Delta F(\xi_i) = \frac{d^2 F(\xi_i)}{d\xi_i^2} \quad (9)$$

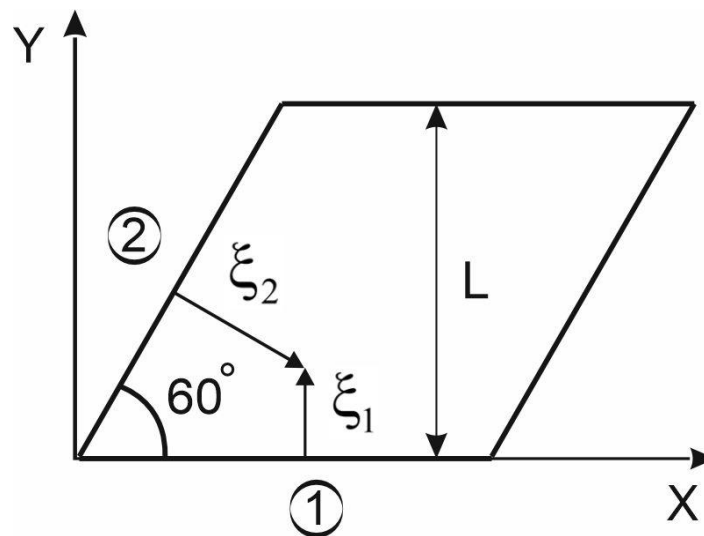


Рис. 1. – Геометрический смысл переменных ξ_1, ξ_2 .

Решение (6) запишем в виде:

$$U = C(\sin \lambda \xi_1 + \sin \lambda \xi_2 - \sin \lambda(\xi_1 + \xi_2)), \quad (10)$$

Нетрудно доказать, что (10) удовлетворяет дифференциальному уравнению (6). Проверим выполнение граничных условий:

Пусть $\xi_1 = 0$. Тогда:

$$U|_{\xi_1=0} = C(\sin 0 + \sin \lambda \xi_2 - \sin \lambda(0 + \xi_2)) = C(\sin \lambda \xi_2 - \sin \lambda \xi_2) = 0.$$

При $\xi_2 = 0$ получим:

$$U|_{\xi_2=0} = C(\sin \xi_1 + \sin 0 - \sin \lambda(\xi_1 + 0)) = C(\sin \lambda \xi_1 - \sin \lambda \xi_1) = 0.$$

Возьмем $\xi_1 = l$

$$U|_{\xi_1=l} = C(\sin \lambda l + \sin \lambda \xi_2 - \sin \lambda(l + \xi_2)) = C(\sin \lambda l + \sin \lambda \xi_2 - \sin \lambda l \cos \lambda \xi_2 - \cos \lambda l \sin \lambda \xi_2) = C(\sin \lambda l(1 - \cos \lambda \xi_2) + \sin \lambda \xi_2(1 - \cos \lambda l)) = 0$$

Выполнение граничного условия возможно только при $\sin \lambda l = 0$ и

$1 - \cos \lambda l = 0$. Отсюда получаем собственные частоты колебаний мембраны

$$\lambda_n = \frac{2\pi n}{l}, \quad n = 1, 2, 3, \dots \quad (11)$$

Так как начальные скорости (3) отсутствуют, то $B = 0$. Примем $b_n = AC$. Запишем все частные решения уравнения (1):

$$W_n = b_n \cos \frac{2\pi n}{l} at \left(\sin \frac{2\pi n}{l} \xi_1 + \sin \frac{2\pi n}{l} \xi_2 - \sin \frac{2\pi n}{l} (\xi_1 + \xi_2) \right) \quad (12)$$

Просуммировав все частные решения, найдем общее решение:

$$W = \sum_{n=1}^{\infty} b_n \cos \frac{2\pi n}{l} at \left(\sin \frac{2\pi n}{l} \xi_1 + \sin \frac{2\pi n}{l} \xi_2 - \sin \frac{2\pi n}{l} (\xi_1 + \xi_2) \right) \quad (13)$$

Рассмотрим частный случай начальной формы:

$$f(x, y) = \sin \frac{2\pi n}{l} \xi_1 + \sin \frac{2\pi n}{l} \xi_2 - \sin \frac{2\pi n}{l} (\xi_1 + \xi_2)$$

Учитывая (3), получим уравнение:

$$\begin{aligned} \sum_{n=1}^{\infty} b_n \left(\sin \frac{2\pi n}{l} \xi_1 + \sin \frac{2\pi n}{l} \xi_2 - \sin \frac{2\pi n}{l} (\xi_1 + \xi_2) \right) = \\ = \sin \frac{2\pi n}{l} \xi_1 + \sin \frac{2\pi n}{l} \xi_2 - \sin \frac{2\pi n}{l} (\xi_1 + \xi_2) \end{aligned} \quad (14)$$

Отсюда $b_n = 1$. Выбирая $n = 1, 2, 3, \dots$ получим различные начальные формы, соответствующие собственным частотам. На рис. 2 показана первая собственная форма колебаний мембраны при $n = 1$.

Общее решение при $n = 1$.

$$W = \cos \frac{2\pi}{l} at \left(\sin \frac{2\pi}{l} \xi_1 + \sin \frac{2\pi}{l} \xi_2 - \sin \frac{2\pi}{l} (\xi_1 + \xi_2) \right) \quad (15)$$

Общее решение для произвольного n имеет вид:

$$W = \cos \frac{2\pi n}{l} at \left(\sin \frac{2\pi n}{l} \xi_1 + \sin \frac{2\pi n}{l} \xi_2 - \sin \frac{2\pi n}{l} (\xi_1 + \xi_2) \right) \quad (16)$$

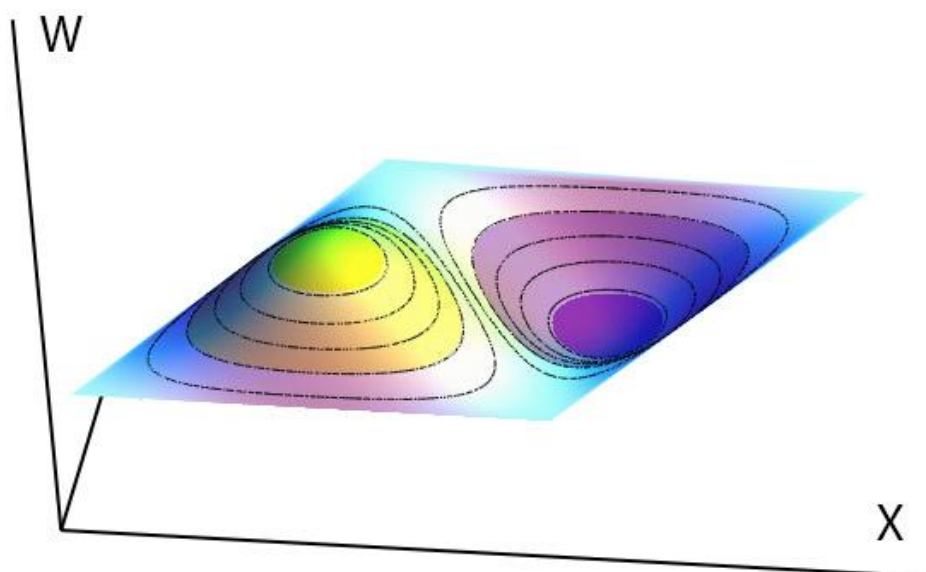


Рис. 2. – Первая начальная форма мембраны.

На рис. 3 показана вторая форма колебаний мембраны при $n = 2$.

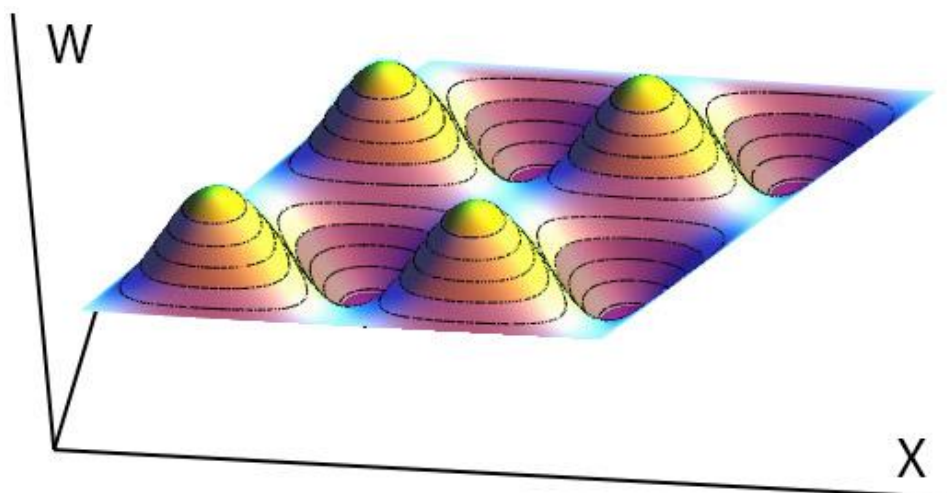


Рис. 3. – Вторая начальная форма мембраны.

Анализируя рисунки 2,3, можно заметить, что собственные формы имеют такие же зоны пучностей и узловые линии, которые наблюдаются и для известных решений свободных колебаний мембран прямоугольной, треугольной и шестиугольной форм.

В представленной работе получены некоторые частные решения задачи о свободных колебаниях мембраны в форме ромба с заданным начальным отклонением. Получены собственные частоты и найдены первые две собственные формы. Полученный результат может быть использован при



проектировании различных элементов конструкций летательных аппаратов. Некоторые элементы самолета, такие как крыло, корпус и т.д., могут усиливаться ячеистой структурой ромбовидной формы. Зная модель поведения элементарной ячейки, можно прогнозировать поведение конструкции в целом и тем самым улучшить аэродинамические характеристики летательного аппарата.

Литература

1. Чернышов Н.А. Моделирование колебания мембраны треугольной формы. // Инженерный вестник Дона, 2020, №2. URL: ivdon.ru/ru/magazine/archive/N2y2020/6336.
2. Чернышов Н.А., Голомидов Н.А., Маслиев А.И. Моделирование колебания мембраны шестиугольной формы. // Инженерный вестник Дона, 2022, №2. URL: ivdon.ru/ru/magazine/archive/N2y2022/7442.
3. Тимошенко С.П. Колебания в инженерном деле. М.: Машиностроение 1985. 472 с.
4. Соболев С.Л. Уравнения математической физики. М.: Наука, 1966. 444 с.
5. Laura P.A.A., Gutierrez R.H. A note on vibrating triangular equilateral plates subject to a hydrostatic state of in-plane stress // Journal of sound and vibration. 1991. №149. pp. 513-515.
6. Liew K.M. On the use of pb-2 Rayleigh-Ritz method for free flexural vibration of triangular plates with curved internal supports // Journal of sound and vibration. 1993. №165. pp. 329-340.
7. Mirza S., Bijlani M. Vibration of triangular plates // AIAA journal. 1983. №21. pp. 1472-1475.
8. Чернышов А.Д., Чернышов Н.А. Колебания треугольной упругой пластины под совместным действием равномерно распределенной поперечной нагрузки и равномерного растяжения // Известия инженерно

- технологической академии чувашской республики. 1998. №11. С. 87-95.
9. Агаларов Дж.Г., Мамедова Г.А. Колебания пластины, шарнирно закреплённой и упруго подвешенной на винклеровом основании // Международный журнал прикладных и фундаментальных исследований, 2018, № 7. URL: applied-research.ru/ru/article/view?id=12328.
10. Тихонов А.Н., Самарский А.А. Уравнения математической физики. М.: Наука, 1977. 736 с.

References

1. Chernyshov N.A. Inzhenernyj vestnik Dona, 2020, №2. URL: ivdon.ru/ru/magazine/archive/N2y2020/6336.
 2. Chernyshov N.A., Golomidov N.A., Masliev A.I. Inzhenernyj vestnik Dona, 2022, №2. URL: ivdon.ru/ru/magazine/archive/N2y2022/7442.
 3. Timoshenko S.P. Kolebaniya v inzhenernom dele [Vibrations in engineering]. M.: Mashinostroenie 1985. 472 p.
 4. Sobolev S.L. Uravneniya matematicheskoy fiziki [Equations of mathematical physics]. M.: Nauka, 1966. 444 p.
 5. Laura P.A.A., Gutierrez R.H. Journal of sound and vibration. 1991. №149. pp. 513-515.
 6. Liew K.M. Journal of sound and vibration. 1993. №165. pp. 329-340.
 7. Mirza S., Bijlani M. AIAA journal. 1983. №21. pp. 1472-1475.
 8. Chernyshov A.D., Chernyshov N.A. Izvestiya inzhenerno tehnologicheskoy akademii chuvashskoy respubliky, 1998, №11, pp. 87-95.
 9. Agalarov J.G., Mamedova G.A. International Journal of Applied and Fundamental Research, 2018, №7 URL: applied-research.ru/ru/article/view?id=12328.
 10. Tihonov A.N., Samarskij A.A. Uravneniya matematicheskoy fiziki [Equations of mathematical physics]. M.: Nauka, 1977. 736 p.
-